

14
732



ОБЪЕДИНЕННЫЙ ИНСТИТУТ ЯДЕРНЫХ ИССЛЕДОВАНИЙ
ЛАБОРАТОРИЯ НЕЙТРОННОЙ ФИЗИКИ

Л.Б. Пикельнер, М.И. Пшитула, Ким Хи-сан, Чэн Лин-янъ, Э.И. Шарапов

1078

СЦИНТИЛЛЯЦИОННЫЙ ДЕТЕКТОР
ДЛЯ РЕГИСТРАЦИИ
РАССЕЯННЫХ НЕЙТРОНОВ

ЖМЭ, 1963, № 2, с №-53.

Л.Б. Пикельнер, М.И. Пшитула, Ким Хи-сан, Чэн Лин-янъ, Э.И. Шарапов

1078

СЦИНТИЛЛЯЦИОННЫЙ ДЕТЕКТОР
ДЛЯ РЕГИСТРАЦИИ
РАССЕЯННЫХ НЕЙТРОНОВ

1640/3 "y"

Дубна 1962 год

Аннотация

Описывается сцинтилляционный детектор для исследования рассеяния резонансных нейтронов по методу времени пролета.

Эффективность детектора к нейtronам слабо зависит от энергии и составляет ~10% в области сотен эв, при этом эффективность к γ -лучам на 3 порядка меньше. Время жизни нейтронов в детекторе ~ 15 мксек.

Приводится участок спектра резонансного рассеяния нейтронов на Rh^{103} .

Для исследования сечения рассеяния нейtronов в резонансной области по методу времени пролета необходим детектор, удовлетворяющий ряду требований: достаточно высокая эффективность к нейtronам в области от нескольких эв до нескольких сот эв, хорошая дистрибуция гамма-излучения, неопределенность во времени регистрации нейтрана меньшая длительности нейтронного импульса, возможность регистрации рассеянных нейtronов в телесном угле, близком к 4π . В настоящей работе описан детектор, используемый для исследования сечения рассеяния нейtronов на импульсном быстром реакторе ОИЯИ^{1/1}, в основном удовлетворяющий перечисленным требованиям.

В качестве сцинтиллятора в детекторе использовался светосостав марки Т-1^{2/}, содержащий $ZnS(Ag)$ с бором. Светосостав Т-1 приготавлялся на заводе "Красный Химик" /г. Ленинград/ методом совместной прокалки борной кислоты, ZnS и активатора при температуре $920^{\circ}C$. Вес борной кислоты составлял 55% от веса ZnS . Полученная спеченная масса измельчалась и просеивалась для выделения зерен нужного размера (200-500 микрон), обеспечивавших лучшие условия для пропускания света. Этот светосостав обладает высокой эффективностью регистрации тепловых нейtronов, но мало пригоден для регистрации более быстрых нейtronов из-за малой прозрачности, что не позволяет использовать толстые слои сцинтиллятора. Для повышения эффективности и улучшения оптических свойств сцинтиллятора была использована следующая конструкция. Порошок Т-1 помещался в виде слоев толщиной 1 мм между пластинами плексигласа толщиной 9 мм, так что получался сцинтилляционный блок трапецевидного сечения длиной 50 см. Детектор состоял из восьми блоков, собранных в восьмигранник, как это показано на рис. 1, на котором дано сечение детектора.

Каждый блок просматривался с обоих торцов фотоумножителями ФЭУ-24. Такая конструкция детектора повышала его эффективность благодаря замедлению нейtronов в плексигласе, а кроме того, пластины плексигласа являлись светопроводом, по которому световая вспышка попадала на фотокатод ФЭУ. Боковые поверхности сцинтилляционных блоков покрыты отражателем на основе двуокиси титана TiO_2 .

Детектор заключен в светонепроницаемый дюралевый кожух, внутренний цилиндрический канал которого имеет диаметр 220 мм. Для уменьшения рассеяния нейtronов на воздухе внутри канала установлена герметичная труба, из которой откачивался воздух после установки исследуемого образца. Телесный угол, в котором регистрируются рассеянные нейtrоны, составляет около $3,6\pi$ стерадиан. На рис. 2 представлена фотография детектора с открытым кожухом.

Значительные размеры детектора и плохая прозрачность ZnS приводили к существенному ухудшению светосборивания, поэтому амплитуды импульсов на выходе ФЭУ имели большой разброс. Использованные для регистрации импульсы лежали в диапазоне амплитуд от трех милливольт до 0,5 вольта. Нижняя граница амплитуд определялась уровнем шумов ФЭУ.

Импульсы от каждого из 16 фотоумножителей усиливались предусилителем с коэффициентом усиления 15, суммировались и поступали на вход основного неперегружающегося усилителя с коэффициентом усиления 100. Усиленные импульсы подавались на интегральный дискриминатор и через выходной катодный повторитель по кабелю на временной анализатор.

Одним из важных параметров детектора являлось время жизни нейтронов в сцинтиляторе. Для определения его была использована импульсная ионная трубка, дающая по реакции $D(T, n)He^4$ нейтронный импульс длительностью 1 мкsec.

Как показали результаты измерений, время жизни нейтронов оказалось равным ~ 15 мкsec. Эта величина являлась приемлемой для нашего спектрометра по времени пролета, так как длительность нейтронного импульса реактора составляла около 40 мкsec.

Эффективность регистрации детектором нейтронов различной энергии определялась на пучке реактора, а также с калиброванным $Po + Be$ источником нейтронов. При определении эффективности на пучке реактора коллимированный нейтронный пучок падал на свинцовый рассеиватель, помещенный в центре детектора. Импульсы с детектора подавались на временной анализатор, что позволяло определять время пролета нейтронами 500-метровой базы, на которой помещался детектор.

Эффективность ϵ детектора определялась по формуле

$$N_i = \Pi_i (1 - e^{-n\sigma}) \epsilon,$$

где N_i - число счетов детектора в i -том канале,

Π_i - поток нейтронов в том же временном канале на всю облучаемую площадь об разца за время измерения,

n - число ядер Pb на cm^2 рассеивателя,

σ - сечение рассеяния нейтронов ядрами свинца, постоянное в области до 10 Кэв и равное 11,3 барна.

На рис. 3 приведен график зависимости эффективности детектора от энергии нейтронов, полученный на основании описанного измерения. Из графика видно, что эффективность детектора слабо зависит от энергии и составляет около 14% в области 5-100 эв. Минимум на кривой при энергии 340 эв связан с наличием в кожухе детектора примеси марганца, имеющего сильный резонанс при этой энергии.

Оценка эффективности детектора в области энергий нейтронов порядка нескольких Мэв, полученная из измерений с $Po + Be$ источником, дала величину около 4% для рабочих условий детектора.

При исследовании резонансного рассеяния нейтронов важно обеспечить хорошую дискриминацию гамма-лучей, возникающих при захвате нейтронов в образце. Зависимость эффективности регистрации гамма-лучей детектором от порога дискриминации измерялась с помощью источника $Co - 60$ известной активности. Результаты измерений приведены на рис. 4. На этом же рисунке приведена аналогичная кривая для нейтронов $Po + Be$ источника. Как видно из рисунка, эффективность регистрации гамма-квантов при рабочем пороге 5 в \sim составляет примерно $10^{-2}\%$ и быстро спадает с увеличением порога, в то время как для нейтронов эффективность изменяется сравнительно слабо.

С помощью описанного детектора было исследовано рассеяние нейтронов ядрами Rh^{103} в области энергий ниже 400 эв. Разрешение составляло 0,1 мсек/м.

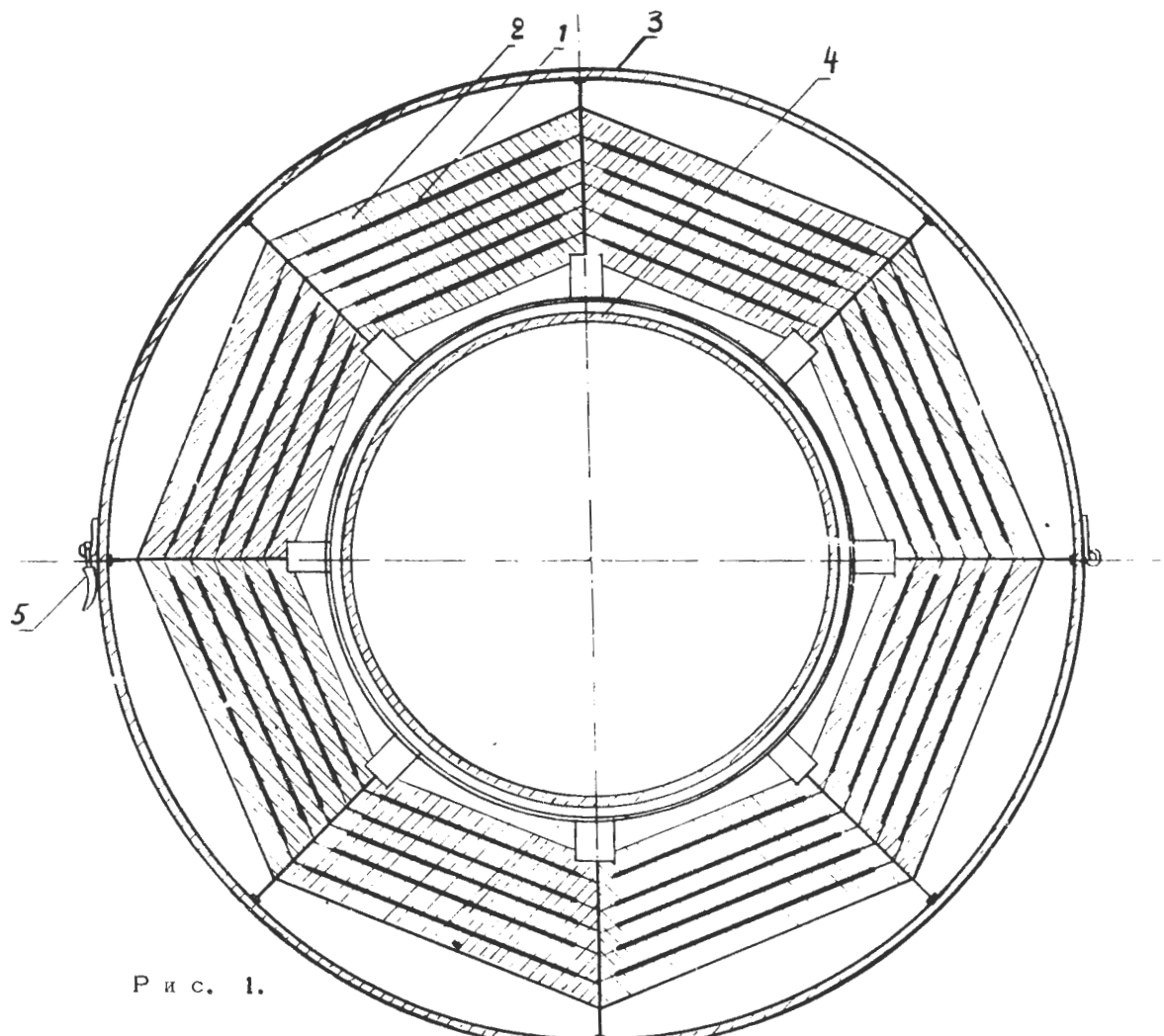
На рис. 5 приведен участок спектра, полученный при следующих условиях: облучаемая площадь образца Rh^{103} 220 см^2 , толщина $0,2 \text{ мм} / 1,43 \cdot 10^{21} \text{ яд/см}^2$, время измерения 20 часов.

По оси ординат отложено число счетов на канал шириной 8 мкеск, по оси абсцисс — номер канала временного анализатора. Пунктиром показан уровень фона, полученный на пучке в отсутствии образца.

Л и т е р а т у р а

1. Г.Е. Блохин, Д.И. Блохинцев и др. Атомная энергия, 1961, 10, вып. 5, 437.
2. Т.В. Тимофеева, С.П. Хормушко. Известия АН СССР, 1958, сер.физ. 22, 14.

Рукопись поступила в издательский отдел
24 августа 1962 года.



Р и с. 1.

Поперечное сечение детектора; 1—слой светосостава Т-1;
2—пластина плексигласа; 3—внешний кожух; 4—дюралевая вакуумная труба;
5—зашелка кожуха.

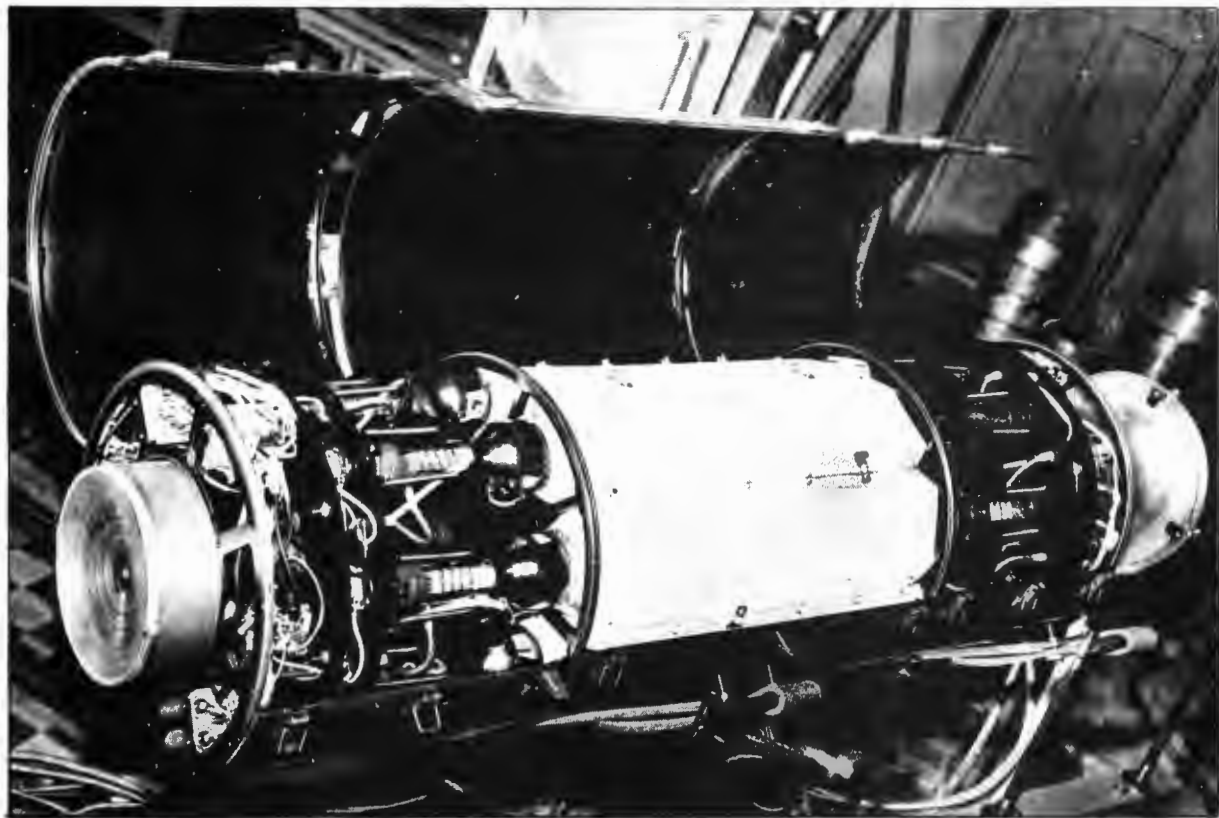


Рис. 2. Фотография детектора с открытым кожухом.

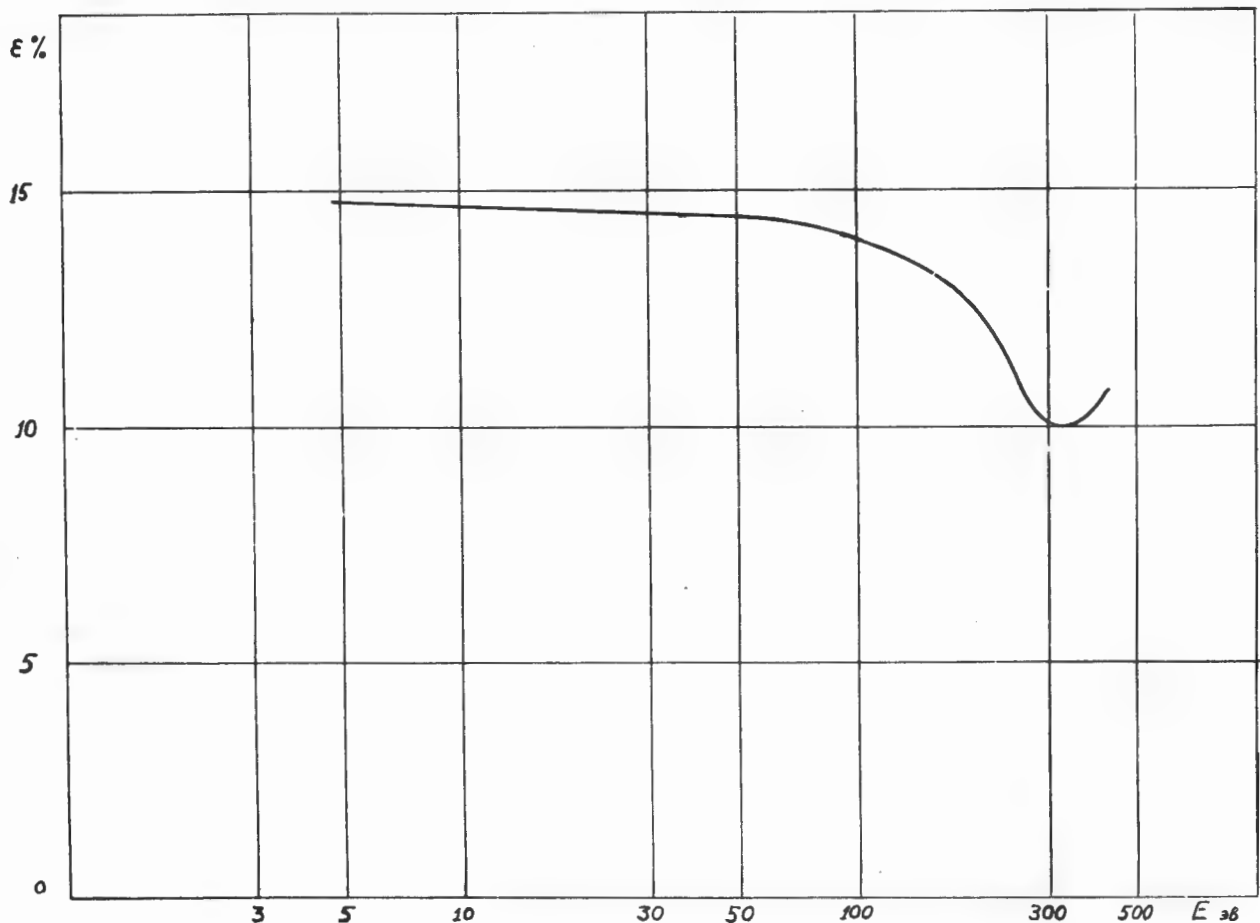
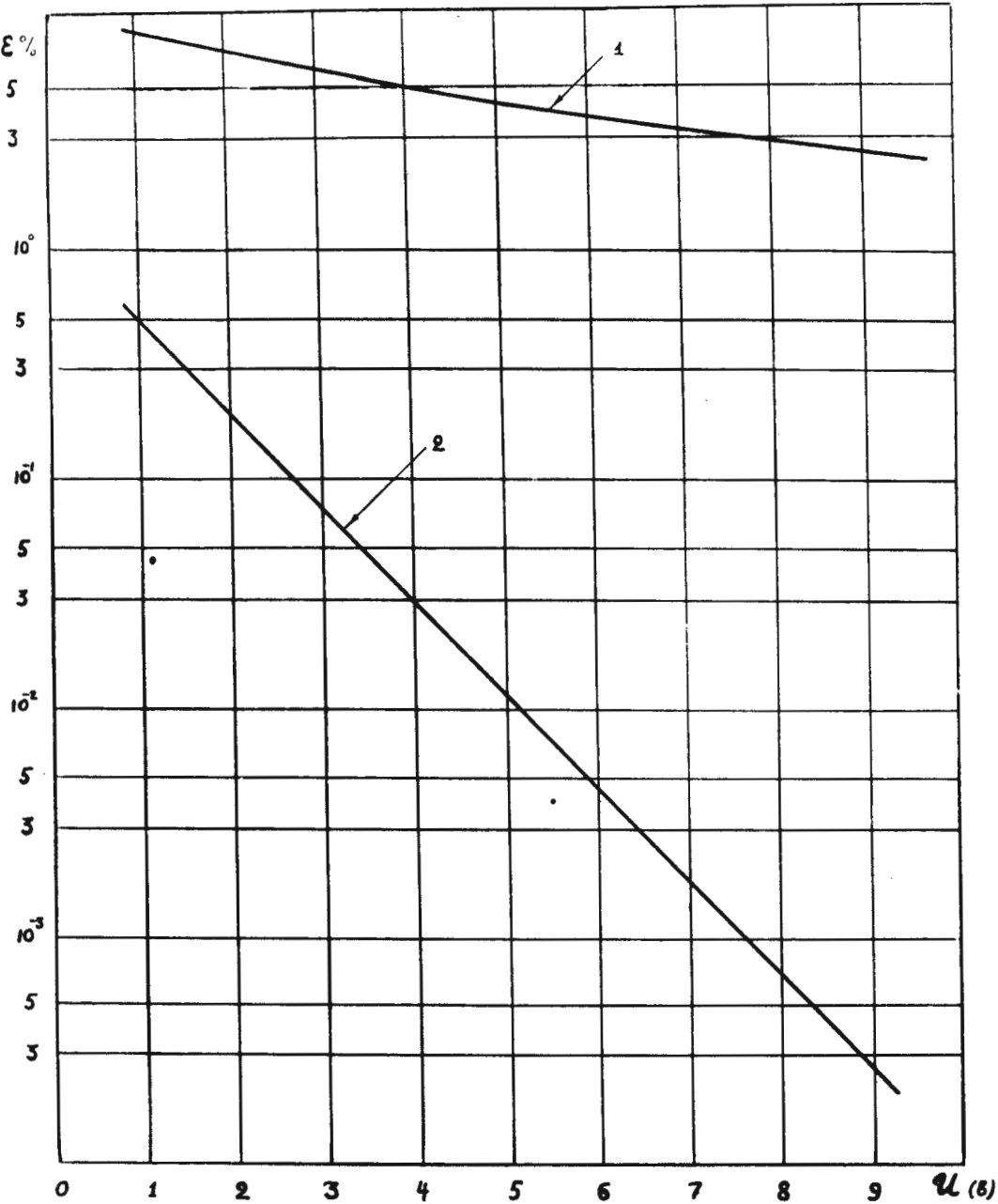
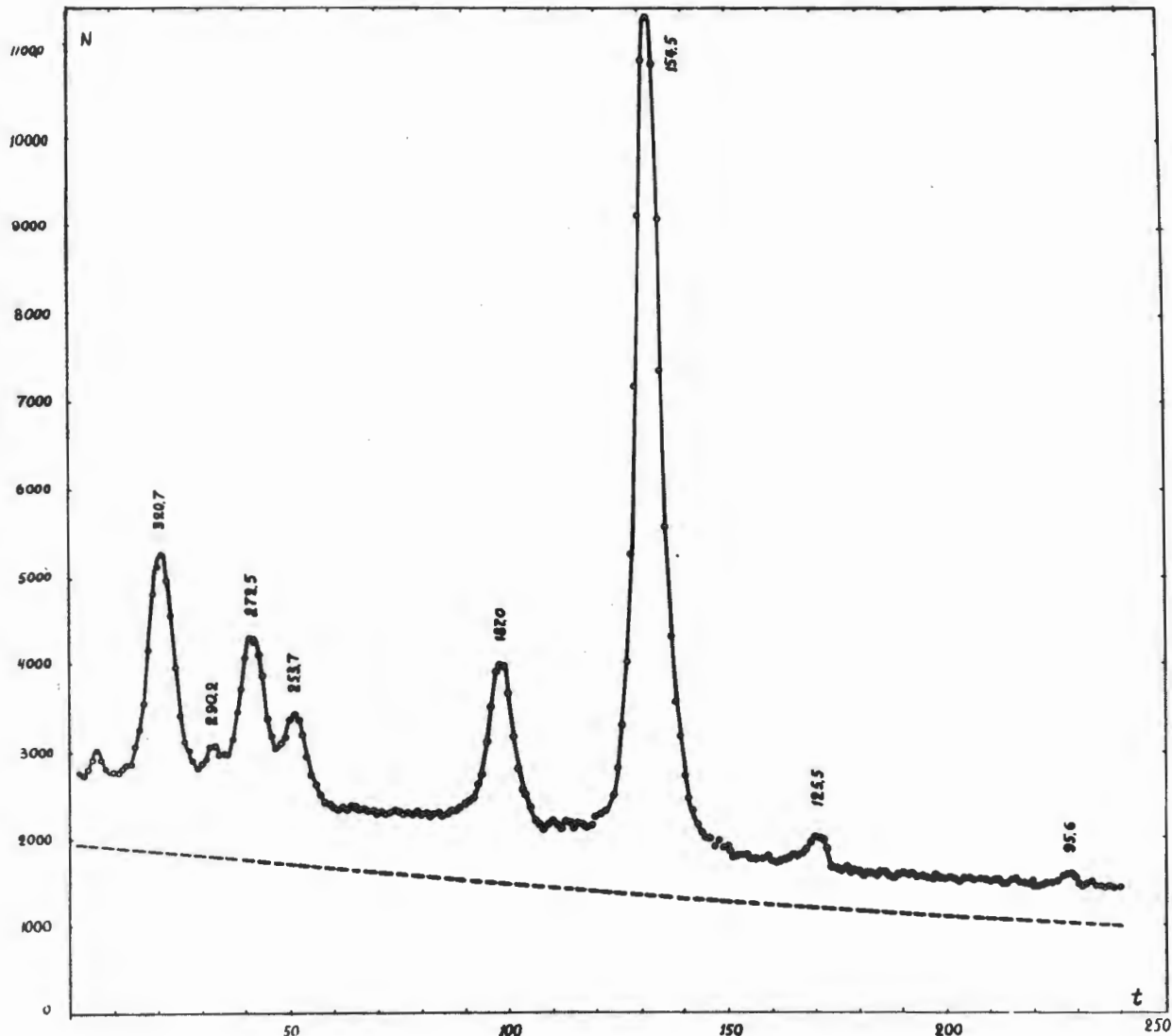


Рис. 3. Зависимость эффективности детектора от энергии нейтронов.



Р и с. 4.

Зависимость эффективностей от порога дискриминации:
 1- для нейтронов $Po + Be$ источника; 2- для γ -квантов $Co - 60$.



Р и с. 5.

Участок экспериментальной кривой рассеяния на родии - 103 .
Цифры над резонансами обозначают энергию резонансов в электровольтах.